

능동위상배열안테나용 수신 빔 성형모듈 설계

⁰정영배, 엄순영, 전순익, 채종석

한국전자통신연구원

The Design of Beam Forming Module for Active Phased Array Antenna System

⁰Young-Bae Jung, Soon-Young Eom, Soon-Ick Jeon, Jong-Suk Chae

Electronics and Telecommunications Research Institute

Abstract

This paper is concerned with the design of the beam forming module that is a key unit of the active phased array antenna(APAA) system for mobile satellite communications. This module includes two blocks for main signal and tracking signal. Main signal block has the role of transmitting input signal from phased array antenna to tracking signal block. And, tracking signal block executes main roles, beam forming of tracking signal and electronic beam control. The several electrical performances of this module, phase characteristics and linear gain, etc., agreed with specifications needed for APAA, and for more clear verification of the performances, the satellite communication test of the APAA including the modules was accomplished in the outdoors.

I. 서 론

위성통신은 자리적으로 넓은 서비스영역과 우주궤도상에 존재하는 위성과의 직접교신으로 통신장애가 적다는 전파환경 상의 장점 등으로 근래에 들어 널리 서비스되고 있다. 또한, 이러한 위성통신은 고정형에서 점차적으로 진보하여 이동체에 탑재할 수 있는 형태로 발전하게 되었으며, 이동체에서의 원활한 통신을 위하여 이동체의 움직임에 따른 위성의 위치변화를 파악할 수 있는 능동위상배열안테나의 개발이 전 세계적으로 이루어지고 있는 실정이다.

본 논문에서는 한국전자통신연구원에서 개발한 선박용 광대역 능동위상배열안테나 시스템에 채용되는 수신

빔 성형블록에 대하여 서술한다. 본 시스템은 정지궤도에 존재하는 무궁화위성과의 양방향통신을 수행하며, 위상천이기를 이용하여 송수신 주 빔의 조향각을 변화시키는 전자식으로 설계되어있다. 또한, 통신을 수행하는 주 빔 이외에 위성의 위치추적에 이용되는 보조 빔이 존재하여 탐색대상인 위성의 좌우 $\pm 0.2^\circ$ 와 상하 $\pm 0.3^\circ$ 범위에서 위치탐색을 수행한다. 수신 빔 성형모듈은 시스템의 입력단에 위치한 위상배열안테나로부터 수신된 신호전력을 결합하여 하위 단말부로 보내는 주신호블록과 4개의 위상천이기를 이용하여 보조 빔의 위치추적기능을 수행하도록 설계된 추적신호블록로 구성되어있으며, 추적신호제어부에 의해서 해당기능이 통제된다.

II. 본 론

서론에 언급한 선박용 능동위상배열안테나시스템에 채용되는 범 성형모듈의 요구사항은 아래의 [표 2.1]과 같다.

[표 2.1] 범 성형모듈의 전기적 요구사항

항 목	전기적 요구사항	
	주 신호블록	추적 신호블록
동작주파수	X-Band	
채널당 선형이득	42dB 이상	38dB 이상
선형이득 평탄도	$\pm 0.5\text{dB}$ 이하	$\pm 1.0\text{dB}$ 이하
채널간 선형이득 오차	$\pm 1.0\text{dB}$ 이하	$\pm 1.0\text{dB}$ 이하
채널간 초기위상 오차	-	$\pm 20^\circ$ 이하
위상제어량	-	4Bit($\Delta = 22.5^\circ$)
위상제어 오차	-	$\pm 11.25^\circ$ 이하
위상제어에 따른 이득변화량	-	$\pm 1.5\text{dB}$ 이하
입출력반사손실	-	14dB 이상

2-1 주 신호블록 설계 및 측정

주 신호블록은 4개의 입력단으로 들어온 수신전력을 저잡음 증폭한 뒤, 4:8로 전력분배하여 단말부와 추적신호블록에 공급하는 역할을 수행한다. 또한, 시스템 내부에 존재하는 송신용 고출력증폭기와 안테나시스템이 운용될 외부환경에 의한 동작온도변화와 그에 따른 성능저하를 방지하기 위하여 DC공급회로를 통한 공급전압의 안정화와 온도에 따른 이득보상을 고려하였다.

그림 1과 같이, 주 신호블록은 5개의 2단 저잡음증폭기를 포함한다. 증폭기는 이득과 잡음특성을 고려하여 NEC사의 Hetero Junction FET를 사용하였으며, 회로시뮬레이터인 ADS(Advanced Design System)를 통하여 각 단의 이득이 12dB가 되도록 설계되었다.



그림 1. 제작된 주 신호블록의 실물사진

Fig 1. Photo of manufactured main signal block

제작기판은 Taconic사의 TLY시리즈를 사용하였으며, HP8510B 회로망분석기(Network Analyzer)를 통하여 전기적특성을 확인하였다.

각 채널의 선형이득은 그림 2와 같다. 4개의 입력채널과 주 신호블록의 출력을 통하여 측정된 최소이득은 43.2dB이며, $\pm 0.3\text{dB}$ 의 선형이득 평탄도와 $\pm 0.7\text{dB}$ 의 채널간 선형이득 오차를 확인할 수 있다.

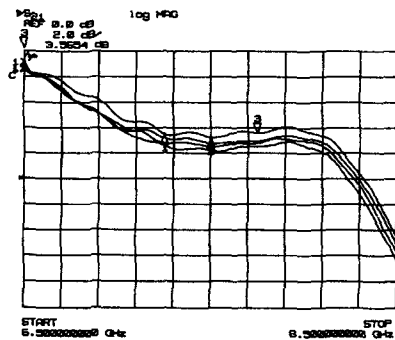


그림 2. 주 신호블록의 선형이득특성(측정)

Fig 2. Linear gain characteristic of main signal block

*단, 회로망분석기의 입력에 41dB 감쇄기가 사용됨

2-2 추적 신호블록 설계 및 측정

추적 신호블록은 주 신호블록과는 달리 범 성형블록의 주요기능인 추적신호 범 성형 및 전자적 범 제어기능을 수행한다. 범 성형 및 제어는 주 신호블록으로부터 입력된 4개의 채널에 병렬로 위치한 4개의 위상천이 기로 수행된다. 본 위상천이기는 포개진 브랜치라인 하이브리드(Branch-line hybrid)를 기본소자로 하는 반사형 위상천이기구조를 취하고 있으며, 결합구조로 인한 점유면적이 기존의 위상천이기모델에 비하여 50% 이상 축소된다는 장점을 갖는다.[1]

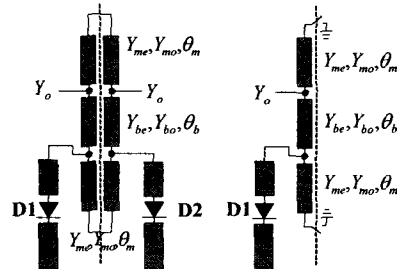


그림 3. 포개진 하이브리드 위상천이기의 기본구조
Fig 3.Fundamental structure of the folded hybrid coupled phase shifter

그림 3은 단일 비트 위상천이기의 기본구조를 보여 주고 있으며, 본 구조의 해석은 우모드(Even mode) 기모드(Odd mode)해석법[2]을 이용하여 수행할 수 있다. 단, 본 설계에서는 동작 대역 내에서의 주파수변화에 따른 일정한 위상변화특성을 구현하기 위하여 포개진 기본소자 이외에 스위칭소자(Pin diode)를 포함하는 반사망을 동시에 고려하여야 한다. 본 해석방법을 이용한 단일 위상천이기구조의 반사손실 및 삽입손실은 식(1), (2)와 같다.

$$S_{11} = S_{22} = \frac{1}{2} \left[\frac{1 - j\bar{Y}_{oei}}{1 + j\bar{Y}_{oei}} + \frac{1 - j\bar{Y}_{ooi}}{1 + j\bar{Y}_{ooi}} \right] \quad (1)$$

$$S_{21} = S_{12} = \frac{1}{2} \left[\frac{1 - j\bar{Y}_{oei}}{1 + j\bar{Y}_{oei}} - \frac{1 - j\bar{Y}_{ooi}}{1 + j\bar{Y}_{ooi}} \right] \quad (2)$$

여기서, $i=1,2$ ($i=1$: ideal diode off, $i=2$: ideal diode on),

$$\bar{Y}_{oei} = \bar{Y}_{me} \tan \theta_m + \bar{Y}_{be} \left\{ \frac{(\bar{y}_i + \bar{Y}_{me} \tan \theta_m) + \bar{Y}_{be} \tan \theta_b}{\bar{Y}_{be} - (\bar{y}_i + \bar{Y}_{me} \tan \theta_m) \tan \theta_b} \right\} \quad (3)$$

$$\bar{Y}_{ooi} = -\bar{Y}_{mo} \cot \theta_m + \bar{Y}_{bo} \left\{ \frac{(\bar{y}_i - \bar{Y}_{mo} \cot \theta_m) + \bar{Y}_{bo} \tan \theta_b}{\bar{Y}_{bo} - (\bar{y}_i - \bar{Y}_{mo} \tan \theta_m) \tan \theta_b} \right\} \quad (4)$$

$$\bar{y}_i = j\bar{Y}_i \tan \theta_i \quad (5)$$

$$\bar{y}_2 = -j\bar{Y}_1 \left\{ \frac{\bar{Y}_2 + \bar{Y}_1 \cot \theta_2 \tan \theta_1}{\bar{Y}_2 \tan \theta_1 - \bar{Y}_1 \cot \theta_2} \right\} \quad (6)$$

여기서, 상대적인 위상천이량은 식 (2)의 위상표현을 정리함으로서 얻을 수 있으며, 설계회로의 중심주파수에서 $S_{11}=0$, $S_{21}=1$ 인 조건 하에서의 어드미턴스 매개 변수조건을 만족시키는 최적의 임피던스 설계조건을 결정할 수 있다.



그림 4. 제작된 추적 신호블록의 실물사진
Fig 4. Photo of manufactured tracking signal block

설계된 4비트 위상천이기를 이용하여 제작한 추적 신호블록은 그림 4와 같으며, 추적신호블록의 선형이득 특성은 그림 5와 같다. 입력된 4개 채널의 최소이득은 38.5dB이며, ± 0.5 dB내의 이득평탄도와 ± 0.8 dB내의 채널간 선형이득오차를 보인다.

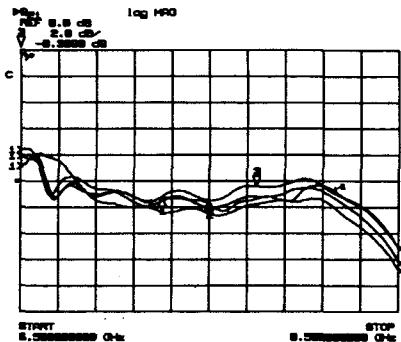


그림 5. 추적 신호블록의 선형이득특성(측정)
Fig 5. Linear gain characteristic of tracking signal block

*단, 회로망분석기의 입력에 41dB 감쇄기가 사용 됨

그림 6에는 채널간 초기위상특성을 보이고 있다. 최대 초기위상 오차량은 $\pm 7^\circ$ 이며, 채널 1번을 기준위상(Reference, 0°)으로 설정한 뒤, 나머지 채널의 위상을 상대적으로 측정한 결과이다.

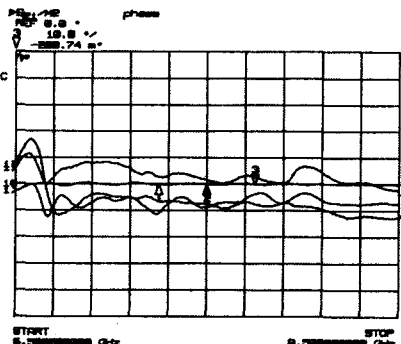


그림 6. 추적 신호블록의 채널간 초기위상오차(측정)
Fig 6. Phase difference characteristic among input

channels of tracking signal block

전술한 바와 같이, 추적신호채널에 사용되는 4비트 위상천이기의 위상제어량은 22.5° 이며, 최대 위상제어 오차량은 $\pm 11.25^\circ$ 이다. 그림 7과 8에서는 빔 성형모듈 외부에 위치하는 추적신호제어기를 통하여 구동된 위상

천이기의 위상제어량과 위상천이기의 구동에 의한 입출력 정합변화에 따른 선형이득변화량을 나타낸다. 측정된 결과와 같이, 위상천이기는 최대 위상제어 오차량을 만족하고 있으며, 이에 따른 이득변화량은 최대 ±1.2dB, 최소 -22dB와 23dB의 입출력 반사손실 특성을 보인다. 또한, 본 논문에서는 4개의 채널 중, 각각 하나의 결과만을 도식하였음을 밝히는 바이다.

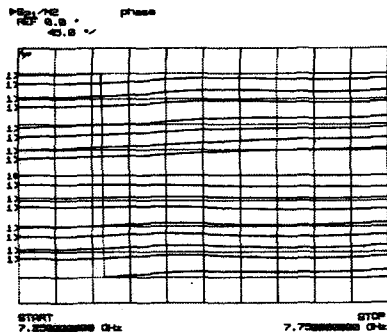


그림 7. 추적 신호블록의 4비트 위상제어(측정)

Fig 7. 4-bit phase Control of tracking signal block

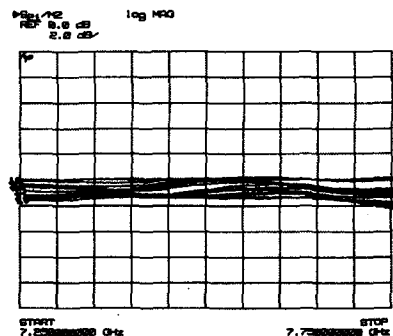
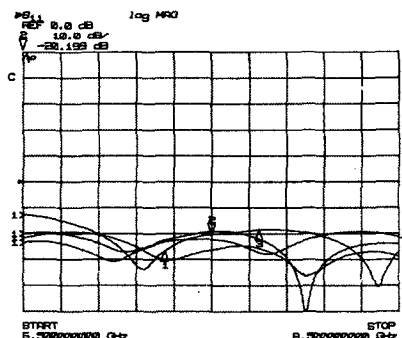
그림 8. 추적 신호블록의 위상제어에 따른
이득변화량 (측정)Fig 8. Gain variance of tracking signal block by
phase control

그림 9. 추적 신호블록의 입력반사손실(측정)

Fig 9. Input return loss of tracking signal block

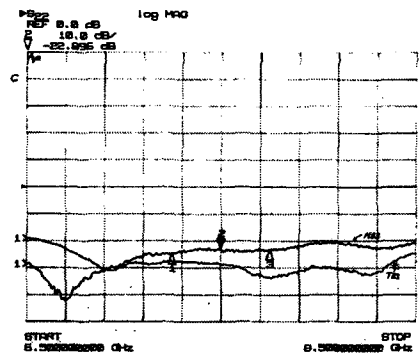


그림 10. 추적 신호블록의 출력반사손실(측정)

Fig 10. Output return loss of tracking signal block

III. 결 론



그림 11. 능동위상배열안테나시스템의 통신시험전경

Fig 11. Photo of satellite communication test by
using active phased array antenna system

그림 11은 본 논문에서 서술한 수신 빔 성형모듈을 장착한 선박용 능동위상배열안테나시스템의 위성통신시험전경을 보여주고 있다. 본론에서 서술한 바와 같이, 제작된 빔 성형모듈은 안테나시스템의 수신신호처리 및 위성추적기능에 요구되는 전기적사양을 만족함으로서 이동체의 움직임에 따른 위성의 상대적 위치파악을 가능케하고, 위치정보를 기반으로 주 빔의 지향방향을 결정하도록 한다. 따라서, 이동체와 위성사이의 지향오차를 최소함으로서 양질의 통신서비스가 가능하며, 전자

적 구동방식으로 인하여 기계식에 비해 위성과의 상대
적 위치변화에 대한 대응시간이 최소화 됨으로서 통신
의 안정성을 피할 수 있다.

이러한 통신시험의 결과에 따라서, 제작된 빔 성형모
듈은 단일부품으로서의 전기적성능 뿐만이 아니라, 시
스템 차원에서도 성공적으로 동작하는 것이 확인되었으
며, 본 시스템 이외에도 다양한 통신환경에 적용할 수
있으리라 확신하는 바이다.

참 고 문 헌

- [1] Soon-Young Eum, et al, "X-band Compact Digital Phase Shifter Design", *The Korea Electromagnetic Engineering Society*, vol. 13, no. 7, pp907- 915, Oct., 2002
- [2] D.M.Pozar, *Microwave Engineering*, John Willy & Son, Inc., 1998
- [3] G. Gonzalez, *Microwave Transistor Amplifiers: Analysis and Design*, Prentice Hall, Inc., 1997
- [4] S.I.Jeon, J.I.Choi, Ch.S. Yim, S.P.Lee, A.V.Shishlov, "Vehicular Active Antenna System with Combined Electronical and Mechanical Beam steering for Reception from DBS in Ku-band", *XXVII Moscow ICATT IEEE AP-S*, pp.72-77, Sept. 1998.
- [5] K. Fujimoto, J.R. James, *Mobile Antenna Systems Handbook*, Artech House, 1994.